

УДК 535.343.2

© 1992

## СПЕКТР РЕШЕТОЧНОГО ОТРАЖЕНИЯ СПЛАВОВ $Cd_{1-x}Hg_xTe$ ( $x = 0—0.8$ )

*С. П. Козырев, В. Н. Пырков, Л. К. Водопьянов*

Проведен анализ спектров решеточного отражения сплавов  $Cd_{1-x}Hg_xTe$  ( $x = 0—0.8$ ) при температуре 25 К. Сплавы образованы полупроводником CdTe и полуметаллом HgTe, оба кристаллизующиеся в простейшей структуре цинковой обманки с почти одинаковыми параметрами решетки. Математическая обработка спектров отражения  $R(\omega)$  осуществлялась последовательным применением методов дисперсионного анализа и Крамерса—Кронига: сначала — дисперсионный анализ спектра  $R(\omega)$  в двухмодовом приближении для достижения аналитических граничных условий на границе и вне интервала измерений, затем — анализ Крамерса—Кронига для восстановления диэлектрической функции  $\hat{\epsilon}(\omega) = \epsilon'(\omega) + i\epsilon''(\omega)$  на лорентцовые контуры решеточных осцилляторов. Значения частот решеточных осцилляторов для CdTe-подобных колебаний для всех составов сплава  $Cd_{1-x}Hg_xTe$  распределяются по четырем модам: 146, 148.5, 150.5 и 156  $\text{см}^{-1}$ . Для любого состава сплава положение и форма полосы решеточного отражения для CdTe-подобных колебаний определяются четырьмя решеточными модами с частотами, не зависящими от состава сплава. С изменением состава сплава меняются силы осцилляторов этих мод. Наблюдается особенность на  $\sim 137 \text{ см}^{-1}$  с почти одинаковой силой осциллятора  $\sim 0.25$  в сплавах состава от  $x = 0.09$  до  $x = 0.81$ .

После открытия Миккельсоном и Бойсом [1] бимодального распределения длин связей между ближайшими соседними атомами в полупроводниковом сплаве  $Ga_{1-x}In_xAs$  методом EXAFS (Extended X-ray Absorption Fine Structure) резко возобновился интерес к исследованиям локальной структуры полупроводниковых сплавов (твердых растворов). Аналогичное распределение длин связей было обнаружено в других псевдобинарных сплавах соединений  $A''B^{VI}$  с катионным замещением  $Cd_{1-x}Mn_xTe$ ,  $Cd_{1-x}Zn_xTe$  [2],  $Cd_{1-x}Hg_xTe$  [2, 3],  $Hg_{1-x}Mn_xTe$  [3],  $Hg_{1-x}Zn_xTe$  [4]. В этих псевдобинарных сплавах замещения  $A_{1-x}B_xC$  со структурой цинковой обманки длины связей между ближайшими соседями не равны усредненным значениям «виртуального кристалла», а имеют почти те же самые значения, что и в чистых соединениях AC и BC. Новая экспериментальная техника EXAFS позволяет утверждать, что локальные особенности в этих сплавах играют решающую роль в определении их свойств.

Большой интерес вызывают сплавы  $Cd_{1-x}Hg_xTe$ , образованные широкозонным полупроводником CdTe ( $E_0 = 1.6$  эВ) и полуметаллом HgTe ( $E_0 = -0.3$  эВ). Оба соединения CdTe и HgTe кристаллизуются в простейшей кристаллической структуре цинковой обманки, их длины связей  $d = 2.806 \text{ \AA}$  для CdTe и  $d = 2.798 \text{ \AA}$  для HgTe почти совпадают, что является результатом баланса ковалентного и ионного вкладов при образовании связи в CdTe и преимущественно ковалентного и металлического вкладов в связь в полуметалле HgTe. Сплавы  $Cd_{1-x}Hg_xTe$  образуют непрерывный ряд твердых растворов с  $0 < x < 1$  со структурой цинковой обманки. Априорно трудно предсказать, как изменяется локальная структура и соответствен-но свойства в сплавах из компонент с одинаковой кристаллической структурой и почти равными решеточными параметрами (т. е. без поля напряжений, связанного с решеточным рассогласованием), но с различной природой химической связи.

Шер и др. [5], используя теорию сильной связи Харрисона для полупроводников с тетраэдрической структурой, и позже Хасс и Вандербилт [6], используя метод псевдоволнового спектроскопии, предсказывали значительные изменения длин связей Hg—Te и Cd—Te в сплаве  $Hg_{1-x}Cd_xTe$ . В соответствии с их предсказаниями более короткая связь Hg—Te в сплаве становится еще короче, а более длинная связь Cd—Te увеличивается, что должно приводить к структурной неустойчивости сплава. Ответственным за такую релаксацию связей считался зарядовый перенос в сплаве от Cd к Hg, который приводил к изменению кулоновских сил между ионами. Экспериментальные исследования методом EXAFS [2, 3] выявили, однако, что длины связей Hg—Te и Cd—Te в сплавах (HgCd)Te очень слабо релаксируют от их значений в чистых соединениях HgTe и CdTe с противоположным знаком релаксации (в сторону среднего значения). С учетом экспериментальных результатов в [7] представлены расчеты локальной релаксации длин связей в той же микроскопической модели сплава  $Hg_{0.5}Cd_{0.5}Te$ , как и в [6], но электроны  $d$ -оболочек Hg и Cd рассматривались валентными аналогично связывающим  $s$ - и  $p$ -электронам Hg, Cd и Te. Авторы [7] пришли к выводу, что ионные заряды определяются в основном связью между ближайшими соседями, и не нашли никаких доказательств большого переноса заряда между Cd и Hg в сплавах (HgCd)Te. Свойства связей между ближайшими соседями предельных кристаллов CdTe и HgTe сохраняются в этих полупроводниковых сплавах. К качественно подобным заключениям пришли Вэй и Цангер [8], рассчитавшие электронную структуру сплавов (HgCd)Te из первых принципов с целью изучения роли  $d$ -электронов в образовании химической связи в сплавах.

Возможности другого нового эффективного метода исследования локальной структуры полупроводниковых сплавов — MASS NMR (Magic-angle sample spinning NMR) — были продемонстрированы на полупроводниковых сплавах с катионным замещением  $Hg_{1-x}Cd_xTe$  [9],  $Cd_{1-x}Zn_xTe$  [10] и  $Cd_{1-x}Mn_xTe$  [11]. Химический сдвиг резонансной частоты, определенный из тонкой структуры ЯМР ядер  $^{125}\text{Te}$  катионных сплавов  $A_{1-x}B_xTe$  в зависимости от состава ( $x$ ), характеризуется дискретным набором линий, число которых зависит от состава. Различные значения химического сдвига  $^{125}\text{Te}$ , чувствительного к его ближайшему локальному окружению, приписываются пяти возможным катионным конфигурациям — A ( $4-n$ ) B ( $n$ ) с  $n = 0, 1, 2, 3, 4$  — вокруг Te. Для сплавов  $Hg_{1-x}Cd_xTe$  [9] с близкими значениями длин связей Hg—Te и Cd—Te и их неизменностью с составом сплава, но разной ионностью связей из-за различной природы химической связи в HgTe и CdTe кубическая симметрия в месте нахождения Te сохраняется при изменении состава сплава. Химический сдвиг  $^{125}\text{Te}$  определяется зарядовым переносом между анионом Te и его тетраэдрическим окружением катионами в одной из конфигураций Hg ( $4-n$ ) Cd ( $n$ ) и для данной катионной конфигурации не зависит от состава сплава. Из анализа формы спектра ЯМР с соответствующим расчетом интенсивности и ширины линий резонанса (число их зависит от состава) оценивалось структурное упорядочение катионов в сплаве  $Hg_{1-x}Cd_xTe$  — степень отклонения от произвольного распределения двух катионов Hg и Cd в их положениях в решетке. Для состава  $x = 0.3$  эффект катионного кластерообразования очень заметный. В системе сплавов  $Cd_{1-x}Zn_xTe$  [10] из-за относительно большого различия длин связей Cd—Te и Zn—Te кубическая симметрия на месте Te в сплаве нарушается, при этом химический сдвиг  $^{125}\text{Te}$  определяется зарядовым переносом и искажением локальной симметрии. Величина химического сдвига зависит от катионной конфигурации Cd ( $4-x$ ) Zn ( $n$ ) вокруг Te и от состава сплава.

Длинноволновая ИК спектроскопия решеточных колебаний сплавов  $A_{1-x}B_xC$  с соответствующим анализом колебательных спектров также дает определенную информацию о характере межатомных взаимодействий. Характер замещения одних атомов другими — хаотический или с формированием кластеров в ближнем или дальнем порядке — исследовался в анионных сплавах Ga (AsP) [12] и Cd (SeS) [13] из анализа тонкой структуры спектров решеточного отражения. Катионные

сплавы  $Cd_{1-x}Hg_xTe$  изучались методом ИК спектроскопии в работе [14]. Наблюдаются особенности в структуре спектров решеточного отражения объясняются исходя из предположения, что при образовании сплавов замещения распределение Cd и Hg в катионной подрешетке не является случайным, в их распределении проявляется тенденция к образованию кластеров в ближнем порядке.

В настоящей работе представлена новая интерпретация результатов анализа спектров решеточного отражения сплавов  $Cd_{1-x}Hg_xTe$  ( $0 < x < 0.8$ ), согласующаяся с последними данными исследований локальной структуры полупроводниковых сплавов. Для более четкого выявления структуры и формы полос спектры решеточного отражения измерялись при низких температурах ( $\approx 25$  К). Математическая обработка спектров отражения проводилась последовательным применением методов дисперсионного анализа и анализа Крамерса—Кронига.

## 1. Измерение и математическая обработка спектров решеточного отражения

Спектры отражения монокристаллических образцов  $Cd_{1-x}Hg_xTe$  ( $0 < x < 0.8$ ) измерялись на лабораторной модели дифракционного вакуумного спектрометра в спектральном интервале 40—90 мкм ( $250$ — $110$  см $^{-1}$ ) с разрешением  $\approx 1$  см $^{-1}$  при температурах 25, 85 и 300 К. Низкотемпературные измерения проводились с помощью криостата с подвижным хладопроводом «по точкам» — при фиксированной длине волны последовательно измерялось отражение от образца и от зеркала и при перекрытом световом пучке. Характеристики монокристаллических образцов приведены в [14].

Математическая обработка спектров отражения  $R(\omega)$ , т. е. восстановление диэлектрической функции кристалла  $\hat{\varepsilon}(\omega) = \varepsilon'(\omega) + i\varepsilon''(\omega)$ , проводилась последовательным применением методов дисперсионного анализа и анализа Крамерса—Кронига. Анализ Крамерса—Кронига, заключающийся в интегральном преобразовании для комплексного коэффициента отражения  $\hat{r} = r \exp(i\theta)$  ( $R = -|r|^2$ ) от амплитуды коэффициента отражения  $r(\omega)$ , заданного в интервале частот от 0 до  $\infty$ , к фазовому углу  $\theta(\omega)$  с последующим преобразованием к  $\hat{\varepsilon}(\omega) = \hat{\varepsilon}[r(\omega), \theta(\omega)]$ , является прямым методом, не зависящим от модельной формы диэлектрической функции

$$r = r \exp(i\theta), \quad \theta(\omega_j) = \frac{2}{\pi} \int_0^{\infty} \frac{\ln(r(\omega)) \ln(r(\omega_j))}{\omega - \omega_j^2} d\omega,$$

$$\varepsilon(\omega) = \hat{\varepsilon}[r(\omega), \theta(\omega)]. \quad (1)$$

Но этот метод очень чувствителен к граничным условиям, поскольку значения  $r(\omega)$  известны лишь в ограниченном интервале частот. В качестве аппроксимирующей функции для  $r(\omega)$  за пределами частотного интервала измерения нами использовался спектр гармонических осцилляторов, параметры которых вычислялись методом дисперсионного анализа [15]. Для дисперсионного анализа нами использовалась диэлектрическая функция  $\varepsilon(\omega)$  в классической аддитивной форме для независимых затухающих осцилляторов.

$$\hat{\varepsilon}(\omega) = \varepsilon_\infty + \sum_j \frac{S_j \omega_{ij}^2}{\omega_{ij}^2 - \omega^2 - i\Gamma_{ij}\omega}, \quad (2)$$

где  $\omega_{ij}$ ,  $S_j$  и  $\Gamma_{ij}$  — резонансная частота, сила осциллятора и затухание  $j$ -моды TO решеточных колебаний рассматриваются как варьируемые параметры.

На первом этапе математической обработки спектра отражения подбирались параметры двух осцилляторов, соответствующих HgTe-подобному колебанию с длинноволнового края экспериментального частотного интервала и CdTe-подобному колебанию с коротковолнового края, для которых модельный спектр отражения, рассчитанный из

$$R(\omega) = \left| \frac{\hat{\epsilon}(\omega)^{1/2} - 1}{\hat{\epsilon}(\omega)^{1/2} + 1} \right|^2, \quad (3)$$

позволил бы сделать хорошую аппроксимацию к экспериментальному спектру отражения на краях частотного интервала измерений. На основе полученного модельного спектра отражения за краями интервала измерений и экспериментальный спектр отражения проводился анализ Крамерса—Кронига с целью восстановления диэлектрической функции  $\hat{\epsilon}(\omega)$ . Эта функция будет отличаться от полученной дисперсионным анализом для двух осцилляторов (в двухмодовом приближении) дополнительной структурой и формой полос.

На втором этапе математической обработки полученная из преобразований Крамерса—Кронига диэлектрическая функция  $\epsilon''(\omega) = \text{Im}[\hat{\epsilon}(\omega)]$  раскладывается на совокупность лорентцевых контуров для гармонических осцилляторов, из которых определялись параметры осцилляторов  $\omega_{ij}$ ,  $S_j$  и  $\Gamma_{ij}$ . В силу аддитивности функции  $\epsilon''(\omega)$  разложение ее на элементарные лорентцевые контуры очень наглядно демонстрирует, какими решеточными осцилляторами определяется экспериментальный спектр отражения. С помощью найденных параметров осцилляторов через (2) и (3) рассчитывался модельный спектр отражения, который сравнивался с экспериментальным спектром с последующей оптимизацией дисперсионных параметров. Максимально приближенный к экспериментальному модельный спектр отражения снова использовался за краями интервала измерений при анализе Крамерса—Кронига для окончательного установления диэлектрической функции сплава  $\hat{\epsilon}(\omega)$ . На выходе математической программы обработки спектра отражения мы имеем экспериментальный и модельный (из дисперсионного анализа) спектры отражения, функции  $\epsilon''(\omega)$  из анализа Крамерса—Кронига и дисперсионного анализа,  $\text{Im}[-\hat{\epsilon}(\omega)^{-1}]$  для экспериментальной  $\hat{\epsilon}(\omega)$  (из анализа Крамерса—Кронига) и дисперсионные параметры осцилляторов  $\omega_{ij}$ ,  $S_j$  и  $\Gamma_{ij}$  для модельной диэлектрической функции  $\hat{\epsilon}(\omega)$ . Положение пиков в спектральном распределении  $\text{Im}[-\hat{\epsilon}(\omega)^{-1}]$  соответствует частотам продольных (LO) мод.

## 2. Результаты исследований

Сплавы, обогащенные HgTe, Cd<sub>0.19</sub>Hg<sub>0.81</sub>Te и Cd<sub>0.29</sub>Hg<sub>0.71</sub>Te. На рис. 1 представлена диэлектрическая функция  $\epsilon''(\omega)$ , восстановленная из анализа Крамерса—Кронига (штриховая линия) спектра отражения  $R(\omega)$  сплава Cd<sub>0.29</sub>Hg<sub>0.71</sub>Te при 25 K (штриховая линия), с соответствующим разложением ее на лорентцевые контуры (сплошная линия) гармонических затухающих осцилляторов. На этом рисунке отчетливо видны два хорошо разрешенных контура осцилляторов на 150.5 и 156 cm<sup>-1</sup>. Их силы осцилляторов равны 0.25 и 0.20 соответственно, и осцилляторы должны рассматриваться как две моды решеточных CdTe-подобных колебаний. HgTe-подобные колебания представлены одной сильной модой на 121.5 cm<sup>-1</sup> с большой силой осциллятора 4.7. Отчетливо проявляется мода на 137 cm<sup>-1</sup>, не уступающая по силе (0.25) модам CdTe-подобных колебаний, которую удалось обнаружить только после восстановления  $\epsilon''(\omega)$  из спектра отражения с помощью преобразования Крамерса—Кронига. В спектре отражения она не видна даже при 25 K, поскольку попадает на крыло очень сильной полосы HgTe-подобного колебания. На рис. 1 также изображена

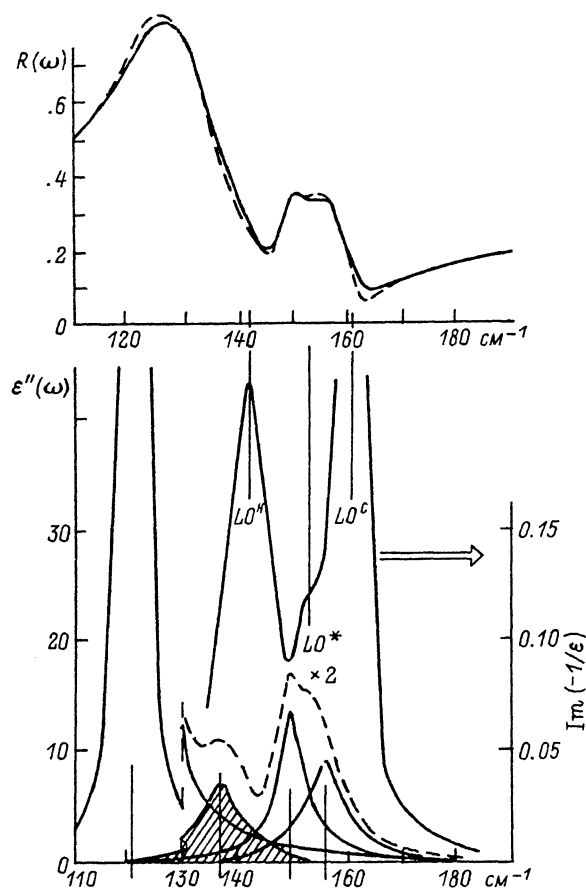


Рис. 1. Спектры отражения  $R(\omega)$  сплава  $\text{Cd}_{0.29}\text{Hg}_{0.71}\text{Te}$  при  $T = 25$  К (штриховая линия — экспериментальный, сплошная линия — модельный). Диэлектрическая функция  $\epsilon''(\omega)$  (штриховая линия), восстановленная из анализа Крамерса—Кронига спектра отражения  $R(\omega)$ , и лоренцовые контуры (сплошная линия) гармонических осцилляторов, на которые разложена функция  $\epsilon''(\omega)$ .  $\text{Im}[-\hat{\epsilon}(\omega)^{-1}]$  для  $\hat{\epsilon}(\omega)$ , полученной из анализа Крамерса—Кронига.

функция  $\text{Im}[-\hat{\epsilon}(\omega)^{-1}]$ , обратная диэлектрической функции  $\hat{\epsilon}(\omega)$ , полученной из анализа Крамерса—Кронига. Ее максимум соответствует частотам  $LO$  мод, равным  $142.0 \text{ см}^{-1}$  для  $\text{HgTe}$ -подобного колебания ( $\omega_{lo} = 121.5 \text{ см}^{-1}$ ), 155 и  $161 \text{ см}^{-1}$  для  $\text{CdTe}$ -подобных колебаний ( $\omega_{lo} = 150.5$  и  $156 \text{ см}^{-1}$  соответственно).

Спектр отражения и результаты его анализа для сплава  $\text{Cd}_{0.19}\text{Hg}_{0.81}\text{Te}$  при  $T = 25$  К подобны случаю, рассмотренному выше для сплава  $\text{Cd}_{0.29}\text{Hg}_{0.71}\text{Te}$ , и аналогичны опубликованным в [16] для  $n\text{-Hg}_{0.79}\text{Cd}_{0.21}\text{Te}$  при  $T = 10$  К. На рис. 2 показана диэлектрическая функция  $\epsilon''(\omega)$ , восстановленная из анализа Крамерса—Кронига (штриховая линия) спектра отражения сплава  $\text{Cd}_{0.19}\text{Hg}_{0.81}\text{Te}$ , с лоренцовыми контурами (сплошная линия) гармонических осцилляторов, на которые раскладывается функция  $\epsilon''(\omega)$ . Частоты  $TO$  мод равны  $121.0 \text{ см}^{-1}$  для  $\text{HgTe}$ -подобного колебания и  $151.0$  и  $155.5 \text{ см}^{-1}$  для  $\text{CdTe}$ -подобных колебаний. Они совпадают с точностью до  $0.5 \text{ см}^{-1}$  с особенностями, найденными в [16] из анализа Крамерса—Кронига спектров отражения. Частоты  $LO$  мод равны  $139.5 \text{ см}^{-1}$  для  $\text{HgTe}$ -подобного колебания и  $153$  и  $158.5 \text{ см}^{-1}$  для  $\text{CdTe}$ -подобных колебаний. В [16]  $LO$  мода на частоте  $158 \text{ см}^{-1}$  ставится в соответствие  $TO$  мода на  $151 \text{ см}^{-1}$ , с чем мы не можем согласиться. В соответствии с дисперсионным анализом диэлектрической функции  $\epsilon''(\omega)$  (рис. 2)  $\text{CdTe}$ -подобная полоса в спектре отражения определяется двумя колебательными  $TO$  модами на частотах

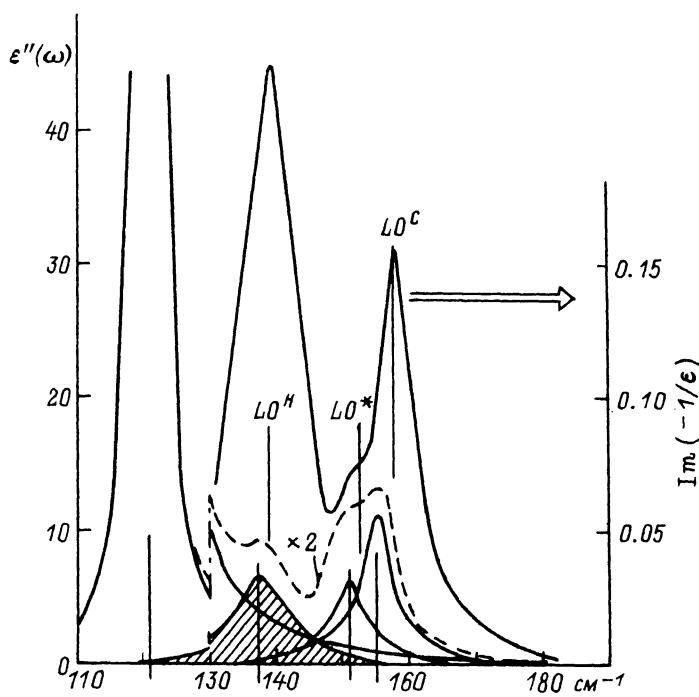


Рис. 2. Диэлектрическая функция  $\epsilon''(\omega)$  (штриховая линия) сплава  $Cd_{0.19}Hg_{0.81}Te$  при  $T = 25$  К, восстановленная из анализа Крамерса—Кронига спектра отражения  $R(\omega)$  и лорентцовые контуры (сплошная линия) гармонических осцилляторов, на которые разложена функция  $\epsilon''(\omega)$ .  $Im[-\hat{\epsilon}(\omega)^{-1}/\epsilon]$  для  $\hat{\epsilon}(\omega)$ , полученной из анализа Крамерса—Кронига.

151.0 и 155.5 с силами осцилляторов 0.12 и 0.23 соответственно. Им соответствуют  $LO$  мода на  $\approx 153 \text{ cm}^{-1}$  и  $LO$  мода на  $158.5 \text{ cm}^{-1}$  с  $LO-TO$  расцеплением 2 и  $3 \text{ cm}^{-1}$ , определяемым силами осцилляторов соответствующих  $TO$  мод. Наблюдаемая в спектрах комбинационного рассеяния света в [16]  $LO$  мода на частоте  $156 \text{ cm}^{-1}$  является усредненной полосой из-за экспериментальной неразрешимости по частоте двух рассмотренных  $LO$  мод. К тому же из-за разупорядочения кристаллической решетки в сплаве может проявляться и запрещенная правилами отбора  $TO$  мода на  $155.5 \text{ cm}^{-1}$ .

Наблюдаемая после разложения диэлектрической функции  $\epsilon''(\omega)$  на лоренцовые контуры особенность на  $137 \text{ cm}^{-1}$  сравнима по силе осциллятора с  $TO$  модами  $CdTe$ -подобных колебаний. Мода  $\approx 135 \text{ cm}^{-1}$  наблюдалась в сплаве  $Hg_{0.8}Cd_{0.2}Te$  в спектрах резонансного КРС при азотных температурах [17] и приписывалась авторами [18], исходя из рекурсивных расчетов по динамике решетки для  $Hg_{0.8}Cd_{0.2}Te$ , колебаниям атома  $Te$ , тетраэдрически связанным с одним атомом  $Cd$  и тремя атомами  $Hg$ . Той же интерпретации склонны придерживаться в работе [16] после обнаружения особенности на  $137 \text{ cm}^{-1}$  из анализа Крамерса—Кронига спектра отражения сплава  $Hg_{0.79}Cd_{0.21}Te$  при 10 К и в работе [19] из резонансного поведения моды на  $133 \text{ cm}^{-1}$  при исследовании резонансного КРС на сплавах  $Cd_{1-x}Hg_xTe$  с  $x = 0.69 \div 0.80$  при  $T = 80$  К.

Уместно остановиться еще на одном аспекте работы [16], в которой проводился сравнительный анализ спектров решеточного отражения и соответствующих диэлектрических функций  $\hat{\epsilon}(\omega)$  для образцов сплава  $Hg_{0.79}Cd_{0.21}Te$   $n$ - и  $p$ -типа, вырезанных из одного слитка (образец выращенного материала  $p$ -типа переходит в  $n$ -тип после продолжительного термического отжига в парах  $Hg$ ). Диэлектрическая функция  $\epsilon''(\omega)$  для образца  $n$ - $Hg_{0.79}Cd_{0.21}Te$  ([16] рис. 3) совпадает с  $\epsilon''(\omega)$ , рассчитанной нами для сплава  $Cd_{0.19}Hg_{0.81}Te$  (рис. 2). Для  $TO$  мод 151.0

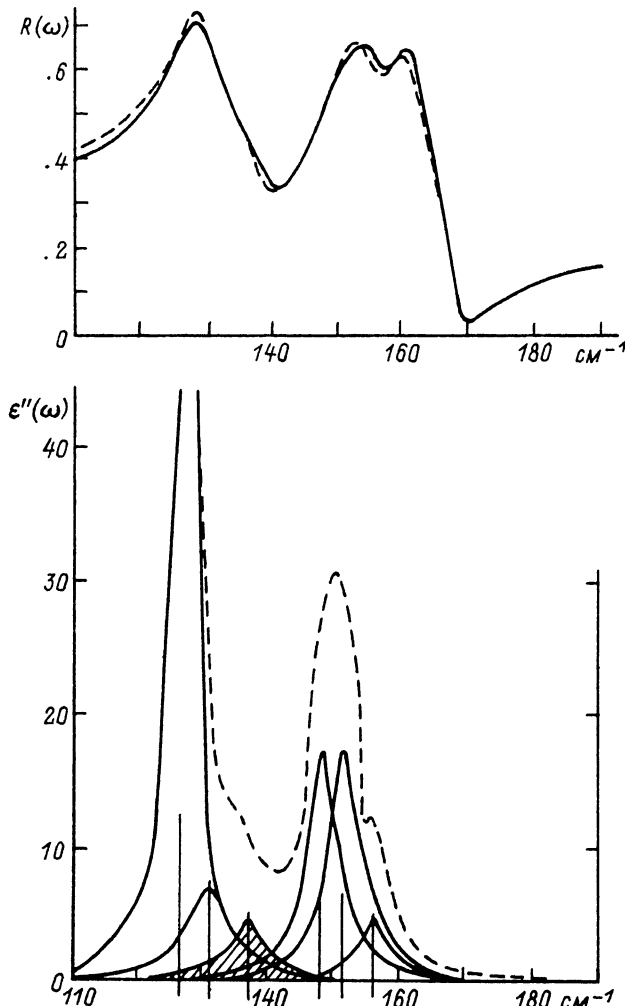


Рис. 3. Спектры отражения  $R(\omega)$  сплава  $\text{Cd}_{0.43}\text{Hg}_{0.57}\text{Te}$  при  $T = 25$  К (штриховая линия — экспериментальный, сплошная линия — модельный). Диэлектрическая функция  $\epsilon''(\omega)$  (штриховая линия), восстановленная из анализа Крамерса—Кронига спектра отражения  $R(\omega)$ , и лоренцовые контуры (сплошная линия) гармонических осцилляторов, на которые разложена функция  $\epsilon''(\omega)$ .

и  $155.5 \text{ cm}^{-1}$  CdTe-подобных колебаний мы установили из дисперсионного анализа соотношение сил осцилляторов  $1:2$  ( $0.12/0.23$ ). Если сравнить функции  $\epsilon''(\omega)$  в области CdTe-подобных колебаний образцов  $n$ - и  $p$ -типа ([<sup>16</sup>] рис. 3) с учетом вклада дырочной плазмы в дисперсию  $\epsilon''(\omega)$  образца  $p$ -типа ( $p = 4 \cdot 10^{17} \text{ см}^{-3}$ ), то соотношение сил осцилляторов  $TO$  мод  $151.0$  и  $155.5 \text{ cm}^{-1}$  будет примерно  $1:1$  ( $0.24/0.24$ ). Следовательно, инверсия типа проводимости в процессе термического отжига сопровождается перераспределением сил осцилляторов между  $TO$  модами CdTe-подобных колебаний.

Сплавы промежуточных составов  $\text{Cd}_{0.43}\text{Hg}_{0.57}\text{Te}$  и  $\text{Cd}_{0.48}\text{Hg}_{0.52}\text{Te}$ . Спектры решеточного отражения сплавов промежуточного состава  $\text{Cd}_{1-x}\text{Hg}_x\text{Te}$  ( $x \approx 1/2$ ) являются очень наглядной иллюстрацией того, что они даже по виду не могут рассматриваться образованными только двумя полосами решеточных CdTe-и HgTe-подобных колебаний, как это принимается в двухмодовой модели колеба-

тельных спектров сплавов замещения. На рис. 3 представлена диэлектрическая функция  $\epsilon''(\omega)$  (штриховая линия), восстановленная из анализа Крамерса—Кронига спектра отражения  $R(\omega)$  сплава  $Cd_{0.43}Hg_{0.57}Te$  при 25 К (штриховая линия), с соответствующим разложением ее на лорентцовые контуры (сплошная линия) гармонических осцилляторов. Спектр отражения  $R(\omega)$  и диэлектрическая функция  $\epsilon''(\omega)$  для сплава  $Cd_{0.48}Hg_{0.52}Te$  аналогичны сплаву  $Cd_{0.43}Hg_{0.57}Te$ , различие только в силах осцилляторов решеточных мод, которыми интерпретируется колебательный спектр. Для спектра отражения  $R(\omega)$  сплава  $Cd_{0.86}Hg_{0.14}Te$  при  $T = 25$  К. Для  $HgTe$ -подобных колебаний в спектре  $\epsilon''(\omega)$  проявляется одна  $TO$  мода на частоте  $131 \text{ cm}^{-1}$ . Контур  $\epsilon''(\omega)$  в области  $CdTe$ -подобных колебаний сильно асимметричен. Но поскольку спектральные измерения сплавов проводились при  $T = 25$  К, нет оснований ожидать, что асимметрия фононных линий связана с проявлением сильного ангармонизма [20]. Спектр  $\epsilon''(\omega)$  в области  $CdTe$ -подобных колебаний раскладывается на лорентцовые контуры с частотами осцилляторов  $146.0, 148.5$  и  $151.0 \text{ cm}^{-1}$ . Снова проявляется особенность на  $138 \text{ cm}^{-1}$  и в сплаве, обогащенном  $CdTe$ . Ее сила осциллятора 0.3 не отличается от значений для сплавов, обогащенных  $HgTe$ , т. е. эта особенность в спектре решеточных колебаний не является специфической только для сплавов  $Cd_{1-x}Hg_xTe$  с  $x = 0.7 \div 0.8$ . Положение частот  $LO$  мод для  $CdTe$ -подобных колебаний в спектре  $\text{Im}[-\hat{\epsilon}(\omega)^{-1}]$  не разрешается для сплава, обогащенного  $CdTe$ , из-за близкого расположения сильных  $TO$  мод; их усредненное положение соответствует сильному пику по частоте  $172.0 \text{ cm}^{-1}$ . Для  $HgTe$ -подобного колебания частота  $LO$  моды равна  $134 \text{ cm}^{-1}$ . На рис. 4 в разложении функции  $\epsilon''(\omega)$  на лорентцовые контуры не показан контур слабого осциллятора, сила которого составляет всего 0.02, на частоте  $157.5 \text{ cm}^{-1}$ , поскольку в кривой  $\epsilon''(\omega)$  его трудно разрешить. Но этот слабый осциллятор с частотой, попадающей в область  $LO$ — $TO$  расщепления сильной  $CdTe$ -подобной моды, хорошо проявляется в спектре отражения  $R(\omega)$  в виде провала в максимуме полосы отражения  $CdTe$ -подобных колебаний. Согласно [20], в этом случае сильная мода играет роль усилителя слабой моды и поэтому слабая мода может четко проявляться в спектре отражения в виде тонкой структуры, но не разрешается в спектре диэлектрической функции  $\epsilon''(\omega)$ . Рассмотренный случай с модой  $157.5 \text{ cm}^{-1}$  противоположен особенности на  $137 \text{ cm}^{-1}$ , которая наблюдается только в спектре  $\epsilon''(\omega)$  сплава  $Cd_{0.43}Hg_{0.57}Te$  (рис. 3) контур  $\epsilon''(\omega)$  в области  $HgTe$ -подобных колебаний сильно асимметричен. Причины асимметрии формы фононных линий для случая сегнетоэлектриков при высоких температурах (680 К) рассматривали Servoin и Gervais [20]. Они рассматривали два варианта: наличие двух близко расположенных мод с различающимися силами осцилляторов и ангармонический эффект. Поскольку наши спектральные измерения проводились при низкой температуре (25 К), нет оснований ожидать проявления ангармонизма, и спектр  $\epsilon''(\omega)$  в области  $HgTe$ -подобных колебаний раскладывался на два контура, соответствующих модам решеточных колебаний на частоте  $126.5 \text{ cm}^{-1}$  с силой осциллятора 2.2 и на частоте  $131.0 \text{ cm}^{-1}$  с силой 0.45. Область  $CdTe$ -подобных колебаний характеризуется тремя модами решеточных колебаний на частотах  $148.5, 150.5$  и  $156.5 \text{ cm}^{-1}$ . И снова в спектре  $\epsilon''(\omega)$  наблюдается особенность на  $137.5 \text{ cm}^{-1}$  с силой осциллятора 0.25. Как увидим в последующем изложении результатов измерений, эта особенность проявляется с почти одинаковой силой осциллятора ( $\approx 0.25$ ) в сплавах  $Cd_{1-x}Hg_xTe$  состава от  $x = 0.09$  до  $x = 0.81$ . Поэтому нет оснований считать ее решеточной модой, характерной для сплава состава  $x = 0.7 \div 0.8$  и соответствующей колебаниям атома  $Te$  в тетраэдре ближайших соседей из одного атома  $Cd$  и трех атомов  $Hg$ , как утверждается в [18].

Сплавы, обогащенные  $CdTe$ ,  $Cd_{0.76}Hg_{0.24}Te$  и  $Cd_{0.86}Hg_{0.14}Te$ . Если спектры отражения сплавов  $Cd_{1-x}Hg_xTe$ , обогащенных  $HgTe$ , характеризуются одной  $TO$  модой  $HgTe$ -подобных колебаний и двумя  $TO$  модами  $CdTe$ -подобных колебаний и особенностью на  $137 \text{ cm}^{-1}$ , то интерпретация спектров отражения

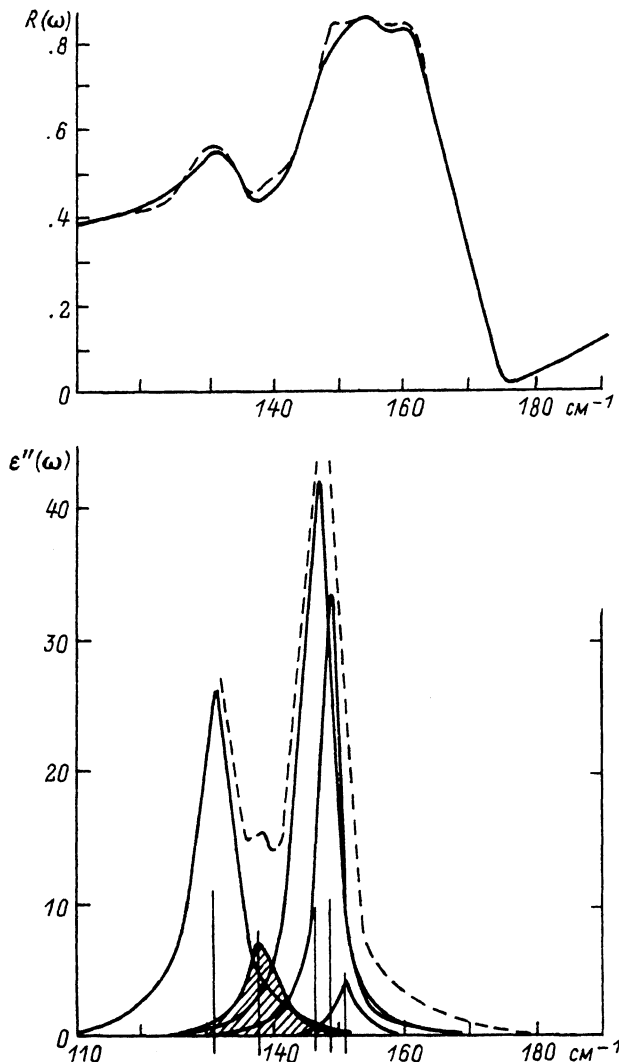


Рис. 4. Спектры отражения  $R(\omega)$  сплава  $\text{Cd}_{0.86}\text{Hg}_{0.14}\text{Te}$  при  $T = 25$  К (штриховая линия — экспериментальный, сплошная линия — модельный). Диэлектрическая функция  $\epsilon''(\omega)$  (штриховая линия), восстановленная из анализа Крамерса—Кронига спектра отражения  $R(\omega)$  и лоренцевые контуры (сплошная линия) гармонических осцилляторов, на которые разложена функция  $\epsilon''(\omega)$ .

сплавов, обогащенных CdTe, более сложная. В качестве примера на рис. 4 представлены результаты анализа.

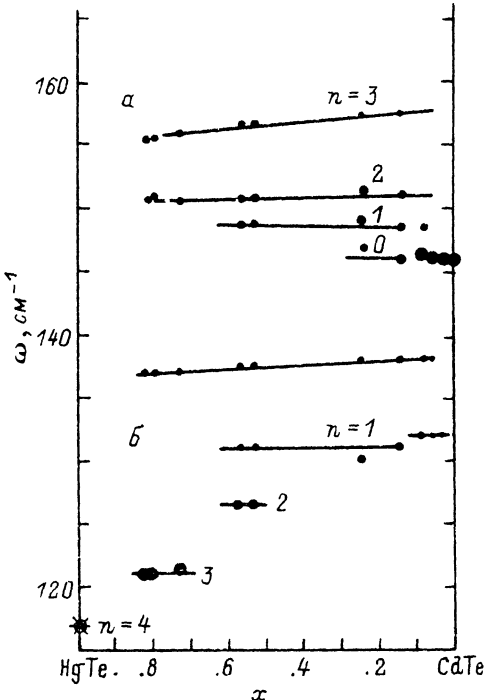
В сплаве  $\text{Cd}_{0.76}\text{Hg}_{0.24}\text{Te}$  мода  $157.5 \text{ cm}^{-1}$  с силой осциллятора 0.09 уже хорошо проявляется и в спектре  $\epsilon''(\omega)$ . Спектры отражения  $R(\omega)$  для обогащенных CdTe сплавов  $\text{Cd}_{1-x}\text{Hg}_x\text{Te}$  с  $x = 0.09, 0.06$  и  $0.03$  характеризуются сильной полосой решеточного отражения CdTe-подобного колебания на частоте ТО моды  $146 \text{ cm}^{-1}$  с тонкой структурой, соответствующей слабой моде, и слабой ТО модой HgTe-подобного колебания на  $132 \text{ cm}^{-1}$ .

Частоты поперечных оптических (TO) фононов, соответствующих осцилляторам в дисперсионном анализе диэлектрической функции  $\epsilon''(\omega)$  и спектра отражения  $R(\omega)$  для сплавов  $\text{Cd}_{1-x}\text{Hg}_x\text{Te}$  с составом от  $x = 0$  до  $x = 0.81$  при  $T = 25$  К (рис. 1—4), представлены на рис. 5 в зависимости от состава сплава ( $x$ ). Размер

Рис. 5. Распределение частот решеточных  $TO$  мод  $\omega_n^c$  и  $\omega_n^H$  Cd—Te (а) и Hg—Te (б) колебаний базисных ячеек Cd(4— $n$ )Hg( $n$ )Te ( $n = 0, 1, 2, 3, 4$ ) в зависимости от состава сплава Cd<sub>1-x</sub>Hg<sub>x</sub>Te при 25 К.

экспериментальных точек на рисунке приблизительно соответствует силе осциллятора соответствующих решеточных мод. Значение частоты 117 см<sup>-1</sup>  $TO$  моды колебания для HgTe при  $T = 8$  К взято из [21].

Все экспериментальные точки для CdTe-подобных колебаний для всех составов сплава Cd<sub>1-x</sub>Hg<sub>x</sub>Te распределяются в пределах 1 см<sup>-1</sup> по четырем модам: 146, 148.5, 150.5 и 156 см<sup>-1</sup>. Для любого состава сплава положение и форма полосы решеточного отражения для CdTe-подобных колебаний определяются четырьмя решеточными модами с частотами, не зависящими от состава сплава. С изменением состава сплава меняются силы осцилляторов этих мод.



#### Список литературы

- [1] Mikkelsen S. A., Boyce J. B. // Phys. Rev. B. 1983. V. 28. P. 7130—7140.
- [2] Balzarotti A. // Physica B. 1987. V. 146. P. 150—175.
- [3] Mayanovic R. A., Pong W.-F., Bunker B. A. // Phys. Rev. B. 1990. V. 42. P. 11174—11182.
- [4] Marbeuf A., Ballataud D., Triboulet R., Dexpert H., Lagarde P., Marfaing Y. // J. Phys. Chem. Sol. 1989. V. 50. P. 975—979.
- [5] Sher A., Chen A.-B., Spicer W. E., Shin C.-K. // J. Vac. Sci. Technol. A. 1985. V. 3. P. 105—111.
- [6] Hass K. C., Vanderbilt D. // J. Vac. Sci. Technol. A. 1987. V. 5. P. 3019—3023.
- [7] Tsai M.-H., Dow J. D., Newman K. E., Kasowski R. V. // Phys. Rev. B. 1990. V. 41. P. 7744—7748.
- [8] Wei S.-H., Zunger Z. // Phys. Rev. B. 1988. V. 37. P. 8958—8981; J. Vac. Sci. Technol. A. 1988. V. 6. P. 2597—2611.
- [9] Zax D. B., Vega S., Yellin N., Zamir D. // Chem. Phys. Lett. 1987. V. 138. P. 105—109.
- [10] Beshah K., Zamir D., Becla P., Wolff P. A., Griffin R. G. // Phys. Rev. B. 1987. V. 36. P. 6420—6425.
- [11] Zamir D., Beshah K., Becla P., Wolff P. A., Griffin R. G., Zax D., Vega S., Yellin N. // J. Vac. Sci. Technol. A. 1988. V. 6. P. 2612—2613.
- [12] Verleur H. W., Barker A. S. // Phys. Rev. 1966. V. 149. P. 715—729.
- [13] Verleur H. W., Barker A. S. // Phys. Rev. 1967. V. 155. P. 750—763.
- [14] Козырев С. П., Водопьянов Л. К., Трибуле Р. // ФТТ. 1983. Т. 25. № 2. С. 635—641; Solid St. Comm. 1983. V. 45. P. 383—385.
- [15] Бурлаков В. М., Рзаев Д. А., Пырков В. Н. // Препринт ИСАН. Троицк, 1985. 28 с.
- [16] Amirtharaj P. M., Dhar N. K., Baars J., Seelwind H. // Semicond. Sci. Technol. 1990. V. 5. P. 68—72.
- [17] Amirtharaj P. M., Tiong K. K., Parayantal P., Pollack F. H., Furdyna J. K. // J. Vac. Sci. Technol. A. 1985. V. 3. P. 226—232.
- [18] Fu Z.-W., Dow J. D. // Phys. Rev. B. 1987. V. 36. P. 7625—7626.
- [19] Compaan A., Bowman R. C., Cooper D. E. // Semicond. Sci. Technol. 1990. V. 5. P. 73—77.
- [20] Servoin J. L., Gervais F. // Appl. Optics. 1977. V. 16. P. 2952—2956.
- [21] Grynberg M., Le Toullec R., Balkanski M. // Phys. Rev. B. 1974. V. 9. P. 517—526.